

Численный метод решения задачи дифракции электромагнитных волн на системе тел и экранов

Ю.Г. Смирнов, М.Ю. Медведик, М.А. Москалева

Пензенский государственный университет

25 сентября 2018 г.

Постановка задачи

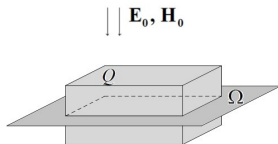


Рис. 1 Тело Q и экран Ω .

Диэлектрическая проницаемость [1]

$$\hat{\varepsilon} = \begin{cases} \varepsilon_e \hat{I}, & x \in \mathbb{R}^3 \setminus (\bar{Q} \cup \bar{\Omega}), \\ \hat{\varepsilon}_j(x), & x \in \bar{Q}_j, \end{cases} \quad (1)$$

причем $\hat{\varepsilon}_j = \hat{\varepsilon}_j^T$, $\text{Im } \hat{\varepsilon}_j \geq 0$.

Свободное пространство однородно и изотропно с постоянными ε_e и μ_e :

$$\begin{aligned} \text{Im } \varepsilon_e \geq 0, \quad \text{Im } \mu_e \geq 0, \quad \text{Im } k_e \geq 0, \\ k_e = \omega \sqrt{(\varepsilon_e \mu_e)}. \end{aligned} \quad (2)$$

Требуется определить (полное) электромагнитное поле \mathbf{E}, \mathbf{H} , удовлетворяющее уравнениям Максвелла:

$$\begin{cases} \text{rot } \mathbf{H} = -i\omega \hat{\varepsilon} \mathbf{E} + j_{0,E}, \\ \text{rot } \mathbf{E} = i\omega \mu_e \mathbf{H}, \end{cases} \quad (3)$$

в $x \in \mathbb{R}^3 \setminus (\bar{Q} \cup \bar{\Omega})$;

условиям непрерывности касательных компонент на границе области неоднородности

$$[\mathbf{E}_\tau]|_{\partial Q} = [\mathbf{H}_\tau]|_{\partial Q} = \mathbf{0}; \quad (4)$$

краевым условиям на поверхности экрана Ω

$$\mathbf{E}_\tau|_{\partial\Omega} = \mathbf{0}; \quad (5)$$

условиям конечности энергии в любом ограниченном объеме пространства

$$\mathbf{E}, \mathbf{H} \in L_{2,loc}(\mathbb{R}^3); \quad (6)$$

условиям излучения Зоммерфельда на бесконечности

$$\frac{\partial (\mathbf{E}_s, \mathbf{H}_s)}{\partial r} - ik_e (\mathbf{E}_s, \mathbf{H}_s) = o\left(\frac{1}{r}\right), \quad r \rightarrow \infty, \quad (7)$$

где $\mathbf{E}_s = \mathbf{E} - \mathbf{E}_0$ и $\mathbf{H}_s = \mathbf{H} - \mathbf{H}_0$ – рассеянное поле, $r = |x|$, $x \in \mathbb{R}^3$.

Теорема ([2])

Задача дифракции (3) – (7) имеет единственное квазиклассическое решение.

Система интегро-дифференциальных уравнений

Задача (3)–(7) сводится к системе интегро-дифференциальных уравнений [2]:

$$\left\{ \begin{array}{l} \hat{\xi} \mathbf{J} - (k_e^2 + \text{grad div}) \int_Q G(x, y) \mathbf{J}(y) dy - \\ - \frac{1}{i\omega\varepsilon_e} (k_e^2 + \text{grad div}) \int_{\Omega} G(x, y) \mathbf{u}(y) ds_y = \mathbf{E}_{0,Q}(x), \quad x \in Q, \\ \left(- (k_e^2 + \text{grad div}) \int_Q G(x, y) \mathbf{J}(y) dy - \right. \\ \left. - \frac{1}{i\omega\varepsilon_e} (k_e^2 + \text{grad div}_{\tau}) \int_{\Omega} G(x, y) \mathbf{u}(y) ds_y \right)_{\tau} = \mathbf{E}_{0,\tau}(x), \quad x \in \Omega, \end{array} \right. \quad (8)$$

$$\hat{\xi} = \left(\frac{\hat{\varepsilon}(x)^{-1}}{\varepsilon_e} - \hat{I} \right), \quad (9)$$

$$\mathbf{J} = \left(\frac{\hat{\varepsilon}(x)}{\varepsilon_e} - \hat{I} \right) \mathbf{E}. \quad (10)$$

В операторной форме (8) имеет вид

$$\hat{L}(\mathbf{V}) = \mathbf{f}_0; \quad (11)$$

где

$$\hat{L} = \hat{L}_1 + \hat{L}_2 = \begin{pmatrix} \mathbf{A} & \mathbf{0} \\ \mathbf{0} & \mathbf{S} \end{pmatrix} + \begin{pmatrix} \mathbf{0} & \mathbf{K}_1 \\ \mathbf{K}_2 & \mathbf{0} \end{pmatrix}, \quad (12)$$

операторы \mathbf{A} , \mathbf{S} , \mathbf{K}_1 и \mathbf{K}_2 задаются как

$$\mathbf{A}\mathbf{J} := \hat{\xi}\mathbf{J}(x) - (k_e^2 + \text{grad div}) \int_Q \mathbf{G}(x, y)\mathbf{J}(y)dy, \quad (13)$$

$$\mathbf{S}\mathbf{u} := \left(-\frac{1}{i\omega\varepsilon_e} (k_e^2 + \text{grad div}) \int_{\Omega} \mathbf{G}(x, y)\mathbf{u}(y)ds_y \right)_{\tau}, \quad (14)$$

$$\mathbf{K}_1\mathbf{u} := -\frac{1}{i\omega\varepsilon_e} (k_e^2 + \text{grad div}) \int_{\Omega} \mathbf{G}(x, y)\mathbf{u}(y)ds_y, \quad (15)$$

$$\mathbf{K}_2\mathbf{J} := \left(- (k_e^2 + \text{grad div}) \int_Q \mathbf{G}(x, y)\mathbf{J}(y)dy \right)_{\tau}, \quad (16)$$

$$\mathbf{V} = (\mathbf{J}, \mathbf{u}), \quad \mathbf{f}_0 = (\mathbf{E}_{0,Q}, \mathbf{E}_{0,\tau}).$$

Численный метод. Дискретизация задачи

Построим на системе Θ обобщенную расчетную сетку [3].

Разобьем экран Ω и тело Q на элементарные ячейки, являющиеся конечными элементами.

$$P_{k_1 k_2} = \{x = (x_1, x_2), k_l h_l < x_l < (k_l + 1)h_l, l = 1, 2\}, \quad (17)$$

где $k = (k_1, k_2)$, $k_l = 0, \dots, n - 1$.

$$\Pi_{j_1 j_2 j_3}^1 = \{x : x_{1, j_1 - 1} < x_1 < x_{1, j_1 + 1},$$

$$x_{2, j_2} < x_2 < x_{2, j_2 + 1}, x_{3, j_3} < x_3 < x_{3, j_3 + 1}\},$$

$$x_{1, j_1} = a_1 + \frac{a_2 - a_1}{n} j_1, x_{2, j_2} = b_1 + \frac{b_2 - b_1}{n} j_2, x_{3, j_3} = c_1 + \frac{c_2 - c_1}{n} j_3, \quad (18)$$

где $j_1 = 0, \dots, n - 2$; $j_2, j_3 = 0, \dots, n - 1$.

Численный метод. Базисные функции

Число носителей на экране Ω : $N_1 = 2n(n-1)$, на теле Q : $N_2 = 3n^2(n-1)$, на системе Θ : $N = N_1 + N_2$.

Базисные функции на экране Ω

$$\varphi_k(x_1, x_2, x_3) = \begin{cases} (x_1 - x_{1,k-1}, x_2 - x_{2,k-1}, x_3 - x_{3,k-1}) \frac{l_k}{S_k^+} & \text{в } P_k^+, \\ (x_{1,k+1} - x_1, x_{2,k+1} - x_2, x_{3,k+1} - x_3) \frac{l_k}{S_k^-} & \text{в } P_k^-, \end{cases} \quad (19)$$

где l_k – длина ребра k , S_k^+ и S_k^- – площади P_k^+ и P_k^- , соответственно.

Базисные функции на теле Q

$$\psi_{j_1, j_2, j_3}^1(x_1, x_2, x_3) = \begin{cases} 1 - \frac{1}{h^1} |x_1 - x_{1, j_1}|, & \text{в } \Pi_{j_1, j_2, j_3}^1, \\ 0, & \text{иначе,} \end{cases} \quad (20)$$

где $h^1 := |x_{1, j_1} - x_{1, j_1 - 1}|$. Функции ψ_{j_1, j_2, j_3}^2 и ψ_{j_1, j_2, j_3}^3 определяются соответственно.

Численный метод. СЛАУ

Матричное уравнение системы (11) имеет вид

$$\mathbf{L}\mathbf{V} = \mathbf{f}; \quad (21)$$

причем основная матрица является блочной

$$\mathbf{L} = \begin{pmatrix} \mathbf{L}^{11} & \mathbf{L}^{12} \\ \mathbf{L}^{21} & \mathbf{L}^{22} \end{pmatrix}. \quad (22)$$

$$\begin{aligned} \mathbf{L}_{pq}^{11} = & \int_Q \hat{\xi}(x) \psi_q(x) \psi_p(x) dx - \\ & - \int_Q (k_e^2 + \text{grad}_x \text{div}_x) \int_Q G(x, y) \psi_q(y) dy \psi_p(x) dx, \end{aligned} \quad (23)$$

$$\mathbf{L}_{pq}^{22} = \frac{1}{\omega^2 \varepsilon_e^2} \int_{\Omega} ((k_e^2 + \text{grad}_x \text{div}_x) \int_{\Omega} G(x, y) \varphi_q(y) ds_y)_{\tau} \varphi_p(x) ds_x, \quad (24)$$

$$\mathbf{L}_{pq}^{12} = \frac{-1}{i\omega \varepsilon_e} \int_Q (k_e^2 + \text{grad}_x \text{div}_{\tau, x}) \int_{\Omega} G(x, y) \varphi_q(y) ds_y \psi_p(x) dx, \quad (25)$$

$$\mathbf{L}_{pq}^{21} = \frac{-1}{i\omega \varepsilon_e} \int_{\Omega} ((k_e^2 + \text{grad}_x \text{div}_x) \int_Q G(x, y) \psi_q(y) dx)_{\tau} \varphi_p(x) ds_y. \quad (26)$$

Основная матрица уравнения (21) является симметричной. Блок \mathbf{L}^{21} совпадает с транспонированным блоком \mathbf{L}^{12} : $\mathbf{L}^{21} = (\mathbf{L}_{\square}^{12})^T$

Численные результаты

Рассмотрим систему Θ , в которой экран Ω пересекает тело Q :

$$\left\{ \begin{array}{l} \Omega = \left\{ x \in \mathbb{R}^3 : x_1, x_2 \in \left(-\frac{\lambda}{2}, \frac{\lambda}{2} \right); x_3 = 0 \right\}, \\ Q = \left\{ x \in \mathbb{R}^3 : x_k \in \left(-\frac{\lambda}{4}, \frac{\lambda}{4} \right) \right\}, \quad k = 1, 2, 3. \end{array} \right.$$

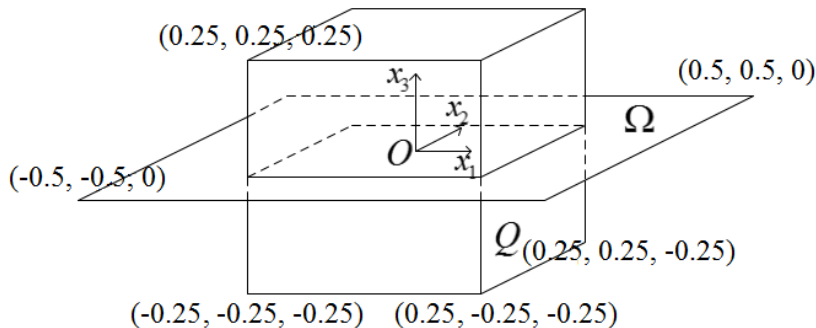


Рис. 2 Система Θ .

Численные результаты

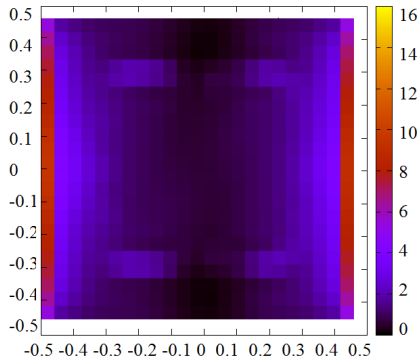


Рис. 3а Эcran Ω .

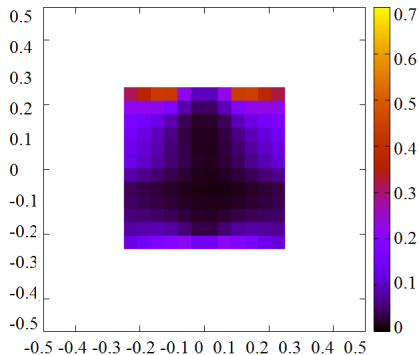


Рис. 3б Тело Q .

Численные результаты

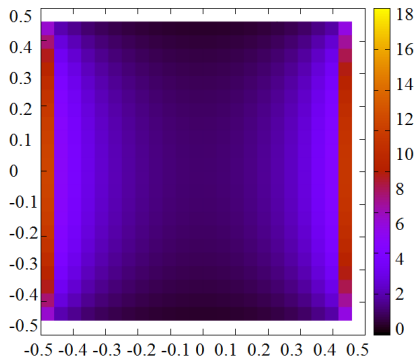


Рис. 4а Эcran Ω .

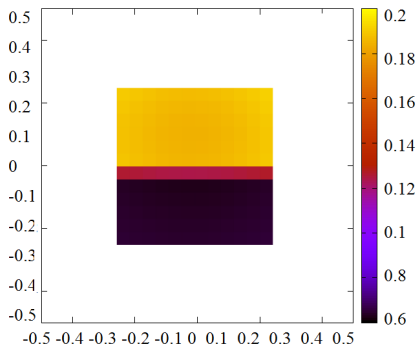


Рис. 4б Тело Q .

Параллельный алгоритм

Порядка 80% времени, затрачиваемого на численное решение задачи, приходится на вычисление матричных коэффициентов, которые вычисляются независимо друг от друга. Матрицы имеют размерность порядка 10^4 . Элементы матрицы представляют собой шестикратные объемные интегралы, четырехкратные поверхностные интегралы и пятикратные объемные и поверхностные интегралы. Основная вычислительная сложность заключается в расчете блока матрицы \mathbf{L}^{11} .

Элементы матрицы \mathbf{L} размещаем в одномерный массив $\{A_I\}$ размера N^2 . Количество коэффициентов C массива $\{A_I\}$, которое необходимо вычислить на каждом процессе, стараемся распределить равномерно [4]:

$$C = \begin{cases} \left[\frac{N}{p} \right] + 1, & p < \left\{ \frac{N}{p} \right\}, \\ \left[\frac{N}{p} \right], & p \geq \left\{ \frac{N}{p} \right\}, \end{cases} \quad (27)$$

где p – номер процесса, $\left[\frac{N}{p} \right]$ – целая часть деления, $\left\{ \frac{N}{p} \right\}$ – остаток от целочисленного деления.

Размер S матрицы L вычисляется как



$$S := S_{11} + S_{12} + S_{21} + S_{22}, \quad (28)$$

где

$$\begin{aligned} S_{11} &:= \text{size}(L^{11}) = (3n^2(n-1))^2, \\ S_{12} &:= \text{size}(L^{12}) = (3n^2(n-1))(2n(n-1)), \\ S_{21} &:= \text{size}(L^{21}) = (3n^2(n-1))(2n(n-1)), \\ S_{22} &:= \text{size}(L^{22}) = (2n(n-1))^2. \end{aligned} \quad (29)$$

При $n = 10$ объем матрицы = 124 Mb; при $n = 20$ объем матрицы = 8.3 Gb; при $n = 30$ объем матрицы = 95 Gb.

- при $p = 8$ скорость вычислений возрастает примерно в 8 раз;
- при $p = 16$ скорость вычислений возрастает примерно в 15 раз;
- при $p = 32$ скорость вычислений возрастает примерно в 26 раз;
- при $p = 64$ скорость вычислений возрастает примерно в 40 раз.

-  **Смирнов Ю.Г.** Математические методы исследования задач электродинамики. -Пенза: Информационно-издательский центр ПензГУ, 2009.
-  **Смирнов Ю.Г., Цупак А.А.** Математическая теория дифракции акустических и электромагнитных волн на системе экранов и неоднородных тел. -Москва: РУСАЙНС, 2016.
-  **Медведик М.Ю., Москалева М.А.** Исследование задачи дифракции электромагнитных волн на неплоских экранах различной формы субиерархическим методом // Радиотехника и электроника. 2013. Т. 60. №6. С. 570–580.
-  **Воеводин В.В., Воеводин Вл.В.** Параллельные вычисления. -СПб.: БХВ-Петербург, 2002.

Спасибо за внимание!